

waterjournal

## **Experimental Investigation of Gabion Grade Control Structures on Hyporheic Exchanges**

**Mohammad Mohammad alizade<sup>1</sup>,****Mahdi Meftah halaghi<sup>2\*</sup>,****Amir Ahmad Dehghani<sup>3</sup>****, Abdolreza Zahiri<sup>4</sup> Khalil Ghorbani<sup>5</sup>**

<sup>1</sup> Phd student Department of Water Engineering, Gorgan University of Agricultural Sciences and Natural Resources, Gorgan, Iran.

<sup>2</sup> Associate Professor of Department of Water Engineering, Gorgan University of Agricultural Sciences and Natural Resources, Iran, Gorgan, Iran.

<sup>3</sup> Associate Professor of Department of Water Engineering, Gorgan University of Agricultural Sciences and Natural Resources, Iran, Gorgan, Iran.

<sup>4</sup> Associate Professor of Department of Water Engineering, Gorgan University of Agricultural Sciences and Natural Resources, Iran, Gorgan, Iran.

<sup>5</sup> Associate Professor of Department of Water Engineering, Gorgan University of Agricultural Sciences and Natural Resources, Iran, Gorgan, Iran.

**[10.22125/IWE.2023.367734.1683](#)**

Received:  
**October 31, 2022**  
Accepted:  
**January 14, 2023**  
Available online:  
**December 30, 2023**

**Keywords:**  
**Hyporheic Flow, Gabion Spillway, Interaction Flow Rate, Retention Time, Muse Model.**

### **Abstract**

The hyporheic zone is a region immediately beneath the riverbed where surface and subsurface water mix. This zone plays a crucial role in the river's ecology by facilitating the self-purification of the river's flow. Consequently, this research seeks to identify methods to increase the sedimentation rate in sedimentation basins, as sediments flowing into irrigation channels cause numerous issues. To this end, this study aims to (i) examine the effect of creating submerged walls on the efficiency of sediment trapping compared to a simple sediment basin, (ii) evaluate the influence of variation in wall height on sediment trapping efficiency, and (iii) study the effect of the number of walls on sediment trapping efficiency. The effect of the gabion stabilizer on the river's hyporheic flow was investigated using several tests on a laboratory flow. The laboratory flow's length, width, and height were 5 m, 30 cm, and 0.5 m, respectively. The experiments were performed at Gorgan University of Agricultural Sciences and Natural Resources on a one-, two-, and three-step gabion spillway. Notably, three distinct basin lengths were used in the 3-step case test. To this end, three types of experiments were conducted: Through Flow Gabion Weir (TFGW), Clinging Nappe Flow Gabion (CNGW) and Plunging Nappe Flow Gabion Weir (PNGW). Afterward, numerical modeling was employed to analyze the experimental findings. According to the results of the gabion spillway, as the number of steps increment, sedimentation rate, sequestration, and consequently flow retention time increase. Analysis of

\* Corresponding Author: Mahdi Meftah halaghi

Address: Associate Professor of Department of Water Engineering, Gorgan University of Agricultural Sciences and Natural Resources, Iran Email: meftahhalaghi@gmail.com Tel: 09113759614

dimensionalized total flow rate ( $q^*$ ) in all three spillways revealed that this parameter decreases as the Reynolds number increases. In addition, the obtained power law for this parameter in terms of Reynolds number demonstrated correlations of 81, 88, and 98 for one-step, two-step, and three-step spillways, respectively. This study demonstrated that the presence of a hydraulic jump alongside a gabion stabilizer increased hyporheic interactions. As a result, increasing the flow rate increases the hyporheic interaction rate while decreasing the flow retention time.

## 1. Introduction

The hyporheic zone is a region immediately beneath the riverbed where surface and subsurface water mix. This zone plays a crucial role in the river's ecology by facilitating the self-purification of the river's flow. Consequently, this research seeks to identify methods to increase the sedimentation rate in sedimentation basins, as sediments flowing into irrigation channels cause numerous issues. To this end, this study aims to (i) examine the effect of creating submerged walls on the efficiency of sediment trapping compared to a simple sediment basin, (ii) evaluate the influence of variation in wall height on sediment trapping efficiency, and (iii) study the effect of the number of walls on sediment trapping efficiency.

## 2. Materials and Methods

The effect of the gabion stabilizer on the river's hyporheic flow was investigated using several tests on a laboratory flow. The laboratory flow's length, width, and height were 5 m, 30 cm, and 0.5 m, respectively. The experiments were performed at Gorgan University of Agricultural Sciences and Natural Resources on a one-, two-, and three-step gabion spillway. Notably, three distinct basin lengths were used in the 3-step case test. To this end, three types of experiments were conducted: through flow gabion weir (TFGW), Clinging Nappe Flow Gabion (CNGW) and Plunging Nappe Flow Gabion Weir (PNGW). Afterward, numerical modeling was employed to analyze the experimental findings.

## 3. Results

According to the results of the gabion spillway, as the number of steps increment, sedimentation rate, sequestration, and consequently flow retention time increase. Analysis of dimensionalized total flow rate ( $q^*$ ) in all three spillways revealed that this parameter decreases as the Reynolds number increases. In addition, the obtained power law for this parameter in terms of Reynolds number demonstrated correlations of 81, 88, and 98 for one-step, two-step, and three-step spillways, respectively.

## 4. Discussion and Conclusion

This study demonstrated that the presence of a hydraulic jump alongside a gabion stabilizer increased hyporheic interactions. As a result, increasing the flow rate increases the hyporheic interaction rate while decreasing the flow retention time.

## 5. Six important references

- 1) Movahedi, N., Dehghani, A.A., Trat, N., Meftah Halqi, M. Laboratory and numerical study of hyperic exchange in the presence of pool and riffle bed form. 2019. J. Echo Hydrology, Vol. 6(1), pp. 191-204.
- 2) O'Connor, B. L. and Harvey, J. W. Scaling hyporheic exchange and its influence on biogeochemical reactions in aquatic ecosystems. 2008, Water Resour. Res, Vols. W12423,,p.44.doi:10.1029/2008WR00716.
- 3) Packman, A., Salehin, M. and Zaramella, M. Hyporheic exchange with gravel beds: Basic hydrodynamic interactions and bedform-induced advective flows. s.l. : J. Hydraul. Eng., 2004. pp. 130(7), 647– 656.

- 4) Stanford JA, Lorang MS, Hauer FR. 2005. The shifting habitat mosaic of river ecosystems. *Travaux Association internationale de Limnologie theorique et appliquee* 29: 123–136.
- 5) Chanson, H. (2009), Current knowledge in hydraulic jumps and related phenomena. A survey of experimental results, *Eur. J. Mech. B., Fluids*, 28(2), 191– 210.
- 6) Edwards RT. 1998. The hyporheic zone. In *River Ecology and Management: Lessons from the Pacific Coastal Ecoregion*, Naiman RJ, Bilby RE (eds). Springer-Verlag: New York; 399–429.

**Conflict of Interest**

Authors declared no conflict of interest.



## بررسی آزمایشگاهی تاثیر سازه‌های تثبیت‌کننده گابیونی بر روی تبادلات هایپریک

محمد محمد علیزاده<sup>۱</sup>، مهدی مفتاح هلقی<sup>۲\*</sup>، امیر احمد دهقانی<sup>۳</sup>، عبدالرضا ظهیری<sup>۴</sup>، خلیل قربانی<sup>۵</sup>

تاریخ ارسال: ۱۴۰۱/۰۸/۰۹

تاریخ پذیرش: ۱۴۰۱/۱۰/۲۴

مقاله پژوهشی

### چکیده

منطقه هایپریک ناحیه‌ای بلافاصله زیر بستر رودخانه است که اختلاط آب‌های سطحی پایین رونده با آب زیرسطحی در آن اتفاق می‌افتد. این منطقه نقش بسیار حیاتی در اکولوژی رودخانه دارد و سبب خودپالایی جریان رودخانه می‌شود. از آنجایی که ورود رسوبات به درون کانال‌های آبیاری باعث مشکلات فراوانی می‌گردد، لذا یافتن راه حل‌هایی جهت کاهش میزان رسوب‌گذاری در حوضچه‌های رسوبگیر هدف اصلی این پژوهش می‌باشد. به طور خلاصه این پژوهش دارای دو هدف است. هدف اول تحقیق بررسی الگوی جریان هایپریک در اطراف سرریز گابیونی است و هدف دوم بررسی تاثیر تغییر تعداد پله‌های سرریز گابیونی بر مشخصات جریان هایپریک و بررسی تغییرات با تله‌اندازی رسوب با تغییر در تعداد پله‌ها می‌باشد. به منظور بررسی آزمایشگاهی تاثیر سازه تثبیت کننده گابیونی بر روی جریان هایپریک رودخانه، ابتدا آزمایشاتی روی فلوم آزمایشگاهی به طول ۵ متر، عرض ۳۰ سانتیمتر و ارتفاع ۰/۵ متر در دانشگاه علوم کشاورزی و منابع طبیعی گرگان صورت گرفت. آزمایشات بر روی سرریز گابیونی با تعداد یک، دو و سه پله انجام گرفت. ابتدا آزمایشات شامل سه نوع جریان درون گذر (TFGW)، جریان ریزشی (CNGW) و جریان با پرش هیدرولیکی (PNGW) و سپس با استفاده از مدل عددی نتایج مورد آنالیز قرار گرفت. طبق بررسی‌های به عمل آمده از نتایج مدل سرریز گابیونی با افزایش تعداد پله‌های سرریز گابیونی، میزان رسوب‌گذاری و در نتیجه‌ی افزایش زمان ماند جریان افزایش می‌یابد. با بررسی دبی تبادلی کل بی بعد شده (<sup>\*</sup>Q) در هر سه نوع سرریز گابیونی با افزایش عدد رینولدز این پارامتر روند کاهشی نشان داد. نتایج نشان می‌دهد وجود پرش هیدرولیکی در حضور سازه‌های تثبیت کننده گابیونی باعث افزایش تبادلات هایپریک شده است. با افزایش دبی جریان، میزان تبادل هایپریک افزایش و زمان ماندگاری کاهش یافته است.

**واژه‌های کلیدی:** جریان هایپریک، سرریز گابیونی، دبی تبادلی، زمان ماندگاری، مدل میوز.

<sup>۱</sup> دانشجوی دکتری رشته مهندسی آب، سازه‌های آبی دانشگاه علوم کشاورزی و منابع طبیعی گرگان، گرگان، ایران.

m\_mohammadaliyadeh889294@yahoo.com

<sup>۲</sup>\* دانشیار گروه مهندسی آب، دانشکده مهندسی آب و خاک، دانشگاه علوم کشاورزی و منابع طبیعی گرگان،

گرگان، ایران. meftahhalaghi@gmail.com

<sup>۳</sup> دانشیار گروه مهندسی آب، دانشکده مهندسی آب و خاک، دانشگاه علوم کشاورزی و منابع طبیعی گرگان، گرگان، ایران.

amirahmad.dehghani@gmail.com

<sup>۴</sup> دانشیار گروه مهندسی آب، دانشکده مهندسی آب و خاک، دانشگاه علوم کشاورزی و منابع طبیعی گرگان، گرگان، ایران.

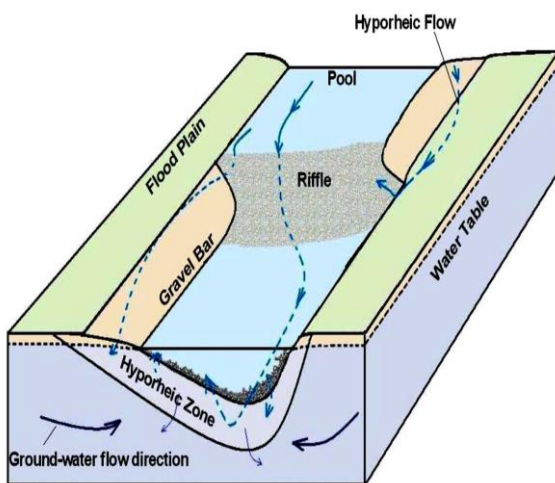
zahiri.areza@gmail.com

<sup>۵</sup> دانشیار گروه مهندسی آب، دانشکده مهندسی آب و خاک، دانشگاه علوم کشاورزی و منابع طبیعی گرگان، گرگان، ایران.

ghorbani.khalil@gmail.com

## مقدمه

سرریزهای گابیونی<sup>۱</sup> از پرکاربردترین سازه‌ها در اجرای بندهای انحرافی و سازه‌های حفاظتی رودخانه‌ها هستند. در عملهای طرح‌های اجرایی بهخصوص در سازه‌های حفاظتی و مهندسی رودخانه بالادست این فرم از سازه‌ها در سال‌های اولیه بهره‌برداری از رسوبات انباشته می‌شود. انباشت رسوب در طرح‌های آبخیزداری به عنوان یکی از اهداف اجرایی این سازه‌ها است. ناحیه هایپریک، یک تاحیه اشاع بینابینی زیر بستر رودخانه و جداره‌های آن می‌باشد که شامل بخشی از جریان رودخانه بوده که بداخل بستر نفوذ کرده است. هنگامی که جریان در مسیر رودخانه حرکت می‌کند، تبادلی بین جریان رودخانه و بستر زیر رودخانه بوجود می‌آید که تبادلات هایپریک نامیده می‌شود. تبادل جریان هایپریک نیز عبارت است از اختلاط جریان سطحی و جریان زیر سطحی در محیط متخلخلی که زیر و اطراف مجرای گذر آب را احاطه کرده است (ادواردز ۱۹۹۸). این تبادل جریان تحت تأثیر خصوصیات متغیر آبراهه مانند فشار در کف، حرکت بستر، حجم آبرفت و هدایت هیدرولیکی به طور زمانی و مکانی تغییر می‌کند (واکس ۱۹۶۸، بولتون ۱۹۹۸، استنفورد و همکاران ۲۰۰۵، استنفورد ۲۰۰۶، کاردناس و ویلسون ۲۰۰۷، تونینا و بافینگتن ۲۰۰۹). اختلاط هایپریک به صورت متناوب از جریان‌های رو به پایین<sup>۲</sup> به داخل بستر متخلخل و بازگشت دوباره به جریان سطحی که رو به بالا<sup>۳</sup> است اتفاق می‌افتد. مقیاس زمانی و مکانی اختلاط هایپریک به وسعت منطقه هایپریک بستگی دارد که ممکن است محدود یا محصور در رودخانه‌های کوچک محدود شده به سنگ بستر و یا وسیع و نامحدود در سیلاندشتها<sup>۴</sup> باشد. همچنین وسعت این مناطق می‌تواند به طور فصلی تغییر کند. در دهه‌های اخیر اهمیت تبادلات جریان هایپریک در رابطه با تأثیر آن در



شکل(۱): شماتی کلی از جریان‌های هایپریک (ویتنگ و همکاران، ۱۹۹۸)

تبادل جریان هایپریک تأثیر چندگانه بر روی زیست بوم رودخانه‌ای دارد. جریان‌های رو به پایین مواد محلول و آب سطحی را به داخل رسوبات بستر برده و باعث اصلاح غلظت مواد محلول در رسوبات می‌شوند، در نتیجه بر روی محیط‌زیست موجودات مختلفی که در محیط بستر رودخانه زندگی می‌کنند، تأثیر می‌گذارند. این موجودات نیز به نوبه خود غلظت مواد محلول را تغییر می‌دهند، قسمتی از مواد محلول آورده شده را مصرف می‌کنند و هدر رفت بیولوژیکی خود را به آب می‌دهند که توسط آب دوباره به جریان سطحی بر می‌گردد. جریان رو به پایین حاوی اکسیژن محلول در آب است که محیط هوایی در لایه کم عمق منطقه هایپریک ایجاد می‌کند و جانوران آبزی می‌توانند در

<sup>۵</sup> Geomorphology

<sup>۶</sup> Ecosystem

<sup>۷</sup> Restoration

<sup>۱</sup> Gabion Steeped Spillways

<sup>۲</sup> Downwelling

<sup>۳</sup> Upwelling

<sup>۴</sup> Floodplains



مقاله حاضر به بررسی تاثیر سازه ثبتیت کننده گابیونی بر مشخصات هایپریک در شرایط مختلف هیدرولیکی می‌پردازد و همچنین تاثیر وجود و یا عدم وجود پله‌ها و تعداد آنها بر میزان ترسیب سرریز گابیونی را نیز مورد بررسی قرار می‌دهد. موحدی و همکاران (۱۳۹۹) به مقایسه تبدلات هایپریک در خیزآب و چالاب دو بعدی و سه بعدی پرداختند. آنها دریافتند که با افزایش تقریباً ۵۰ درصدی دامنه فرم بستر، دبی تبدلات هایپریک هم در حالت دو بعدی و هم در حالت سه بعدی ۲۶ درصد افزایش و زمان ماندگاری در مدل دو بعدی ۳۶ درصد و در مدل سه بعدی ۴۱ درصد کاهش می‌یابد. همچنین، مقایسه نتایج خیزاب - چالاب سه بعدی با مدل دو بعدی معادل آن نشان می‌دهد که دبی تبدلات هایپریک و زمان ماندگاری به ترتیب ۳ و ۴ درصد افزایش می‌یابند. موحدی (۲۰۱۹) تأثیر فرم بستر خیزاب- چالاب بر تبدلات هایپریک را مورد بررسی قرار داد. این تحقیق با به کارگیری روش شبیه سازی گردابه‌های بزرگ، تغییرات فشار روی بستر شبیه سازی عددی شد و سپس مدل آبهای زیرزمینی و روش ردیابی ذرات برای شبیه سازی جریان در ناحیه هایپریک به کار گرفته شد. نتایج نشان داد که حل کننده اینترفوم با مدل شبیه سازی به روش گردابه‌های بزرگ به خوبی قادر است شرایط آزمایشگاهی را مدل سازی کند. بررسی مشخصات ناحیه هایپریک در این تحقیق نشان داد با افزایش عدد رینولدز، تبدلات هایپریک افزایش یافته و زمان ماندگاری کاهش می‌یابد.

موحدی و همکاران (۲۰۲۱) به بررسی تبادل جریان هایپریک در بسترها رسوی با طول و عرض موجی شکل پرداختند. آنها دریافتند که تبدلات هایپریک با تغییر در بستر عرضی رودخانه‌ها نیز ایجاد می‌شود. همچنین آنها اعلام داشتند که عمق جریان هایپریک، ارتفاع نفوذ آب سطحی به داخل بستر را نشان می‌دهد. این عمق از نظر زیست بوم رودخانه حائز اهمیت است. در مورفلوژی‌های طبیعی که بیشتر سه بعدی هستند، گسترش جانبی منطقه هایپریک هم می‌تواند مورد توجه باشد.

این محیط تکثیر شوند. با این وجود مواد آلی جهت تجزیه در منطقه هایپریک، اکسیژن مصرف می‌کند و باعث ایجاد اختلاف غلظت اکسیژن می‌شوند که بسته به زمان واکنش، غلظت اولیه اکسیژن، سرعت جریان، طول مسیرهای جریان هایپریک تغییر می‌کند. جریان‌های هایپریک اساساً از تعامل بین جریان رودخانه‌ای و مورفلوژی بستر رودخانه‌های محلی مانند تپه‌ها، مانع‌ها، چالاب‌ها (هاروی و بنسالا، ۱۹۹۳، الیوت و بوروکز، ۱۹۹۷، ماریون و همکاران ۲۰۰۲، تونینا ۲۰۰۵، کاردناس و ویلسون ۲۰۰۷، تونینا و بافینگتن ۲۰۰۷) سرریزها (هستر و دویل ۲۰۰۸)، سدهای کوچک (فالنی و لاوتز ۲۰۰۸)، راه ماهی‌ها (تونینا و بافینگتن ۲۰۰۹) ایجاد می‌شوند. تبادل هایپریک توسط چندین محرک فیزیکی ناپیوسته می‌تواند تنظیم شود، این محرک‌ها شامل انتشار، انتقال و مومنتوم است (کاسر و همکاران ۲۰۰۹، اکونور و هاروی ۲۰۰۸، پاکمن و همکاران ۲۰۰۴). تبادل انتقال توسط هد هیدرولیکی،  $h = P/\rho g$  که از هد ارتفاع (m) z هد فشاری  $P/\rho g$  و هد سرعت  $U^2/2g$  تشکیل شده است، به وجود می‌آید.

$$h = z + h_p + \quad (1)$$

$$C \frac{U^2}{2g}$$

P فشار داخلی (Pa) است،  $\rho$  چگال ( $\text{kg} / \text{m}^3$ )، g شتاب گرانشی و U سرعت (m/s) و C ضریب ثابت است. بیشتر تحلیل‌های قبلی تبدلات هایپریک در موانع رودخانه، با استفاده از یک پروفیل سطح آب هیدرواستاتیک، بدون توجه به فرآیندهای هیدرودینامیکی و تغییرات هد سرعت پیش‌بینی شده‌اند (گوسف و همکاران ۲۰۰۶، هاروی و بنسالا، ۱۹۹۳، کاساهارا و وندزل ۲۰۰۳، لاوتز و سیگل ۲۰۰۶). ترکیب هد ارتفاع و هد فشار هیدرواستاتیک به طور معمول به عنوان هد پیزومتریک شناخته می‌شود. تجزیه و تحلیل هیدرواستاتیک فرض می‌کند که هد پیزومتریک می‌تواند محرک هایپریک غالب باشد. تحقیقات فلوم آزمایشگاهی یک توالی چالاب و خیزآب نشان داده است که سطح پیزومتریک مبتنی بر پروفیل سطح آب می‌تواند یک پیش‌بینی ناچیز از الگوهای مکانی از تبادل هایپریک در امتداد جریان رودخانه‌ای باشد، به دلیل اینکه سرعت و فشار رفتار هیدرودینامیکی دارند (تونینا و بافینگتن ۲۰۰۷).

فلزی، به طول ۵ متر، عرض ۳۰ سانتیمتر و ارتفاع ۰/۵ متر در دانشگاه علوم کشاورزی و منابع طبیعی گرگان صورت گرفت. یک سازه تثبیت‌کننده گابیونی در فاصله ۱۴۰ سانتیمتر از ابتدای کanal با دو حالت ۲ پله و ۳ پله با ارتفاع ۱۰ سانتیمتر روی هم قرار گرفته و مطابق جدول ۱ برای انجام آزمایش استفاده شده است.

## مواد و روش

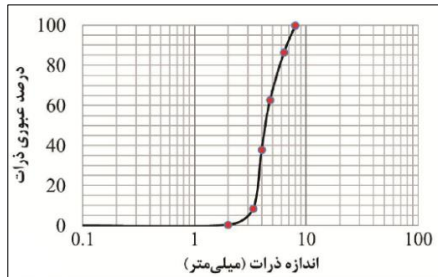
به منظور بررسی الگوی جریان هایپریک مطالعات به صورت آزمایشگاهی انجام شد. در ادامه، مشخصات کanal آزمایشگاهی و شیوه انجام آزمایش‌ها ارائه شده است.

## کanal آزمایشگاهی

طبق شکل ۲، آزمایش‌ها در یک فلوم شیب‌پذیر مستطیلی است که جنس دیواره آن سکوریت و جنس کف



شکل (۲): فلوم آزمایشگاهی مورد استفاده



شکل (۳): منحنی دانه‌بندی مورد استفاده

قبل از شروع آزمایش‌ها و برقراری جریان آب در فلوم، سطح رسوبات بستر در بالادست و پایین دست سرریز گابیونی به صورت یک سطح صاف با شیب ۱ درصد اجرا شد.

## تعیین هدایت هیدرولیکی

به منظور تعیین هدایت هیدرولیکی رسوبات، پس از صاف نمودن بستر رسوبی، جریان به داخل کanal برقرار می‌گردد، سپس طبق رابطه (۴)، هدایت هیدرولیکی محاسبه خواهد شد (تونینا و بافینگتن، ۲۰۰۷).

$$K = \frac{Q}{AS_f} \quad (4)$$

## رسوبات کف کanal آزمایشگاهی

به منظور بررسی اثر جریان هایپریک بر روی رسوبات از یک نوع دانه‌بندی با قطر متوسط (d50)، به میزان ۴/۳۲ میلیمتر استفاده شده است. پس از دانه‌بندی ذرات رسوب برخی پارامترهای مهم شامل هدایت هیدرولیکی (K) و تخلخل (φ) محاسبه گردید. در شکل ۳ منحنی دانه‌بندی رسوبات کف بستر ارائه شده است.

رسوبات ذرات داخل سازه گابیونی از قلوه‌سنگ‌هایی با حداقل ۱/۵ برابر چشمehای توری برای لایه‌های حفاظتی و توری سنگی‌های بیرونی باید استفاده شود (سازمان مدیریت و برنامه‌ریزی کشور، ۱۳۹۵). بنابراین در این تحقیق رسوبات موائع گابیونی ۶/۸ میلیمتر انتخاب شد.



رسوب گابیونی بیشتر از قطر ذرات بستر است و درنتیجه خلل و فرج بیشتری هم دارد به همین دلیل ضریب هدایت هیدرولیکی ذرات گابیونی بیشتر از ذرات کف بستر بوده است.

### برداشت پروفیل سطح جریان و اندازه‌گیری دبی فلوم

برای اندازه‌گیری دبی جریان از کنتور حجمی استفاده شده است. این کنتور از جنس چدنی با اندازه ۶۵ میلیمتر در نظر گرفته شده است. برای جلوگیری از خطای احتمالی، حداکثر و حداقل دبی جریان در این نوع کنتور به ترتیب، حدود ۱۳/۸۸ و ۰/۸۸ لیتر بر ثانیه می‌باشد.

### شیوه تزریق مواد رنگی

در محل‌های قبل و بعد از پرش هیدرولیکی و در عمق‌های مختلف برای بررسی بهتر مسیر جریان هایپریک ماده رنگی پر منگات پتانسیم تزریق شد که همزمان نیز از مسیر حرکت ماده رنگی نیز فایل تصویری با استفاده از یک دستگاه دوربین در موقعیت‌های مختلف محل تزریق در پایین دست مانع برای محاسبه دقیق زمان حرکت جریان هایپریک تهیه شد.

### مانع سرریز گابیونی در مسیر جریان

به منظور بررسی اهداف مورد نظر در این تحقیق آزمایشات با یک پله به ارتفاع ۱۵ سانتیمتر، دو پله به ارتفاع ۷/۵ سانتیمتر، سه پله به ارتفاع ۵ سانتیمتر و دبی ثابت انجام می‌شود. لازم به ذکر است که ابعاد سازه تثبیت کننده گابیونی و میزان تخلخل آن در طول آزمایش در حالات ۲ پله و ۳ پله ثابت می‌باشد. شکل ۴ شماتیک سرریزهای گابیونی را نمایش می‌دهد.

که در آن  $Q$  دبی جریان در محیط متخلخل،  $A$  سطح مقطع رسوبات اشباع و  $S_f$  شب خط انرژی است. مقدار هدایت هیدرولیکی در این تحقیق برای ذرات بستر ۴/۳۲ میلیمتر و ذرات گابیونی ۶/۸ میلیمتر به ترتیب برابر با ۰/۴۰۲۲ و ۰/۱۹۶۲ متر بر ثانیه به دست آمد. قطر ذرات

از پارامتر هدایت هیدرولیکی در شبیه‌سازی عددی هیدرودینامیکی و هیدرواستاتیکی در مدل‌های Flow 3D و Model muse استفاده شده است.

### تعیین تخلخل ذرات

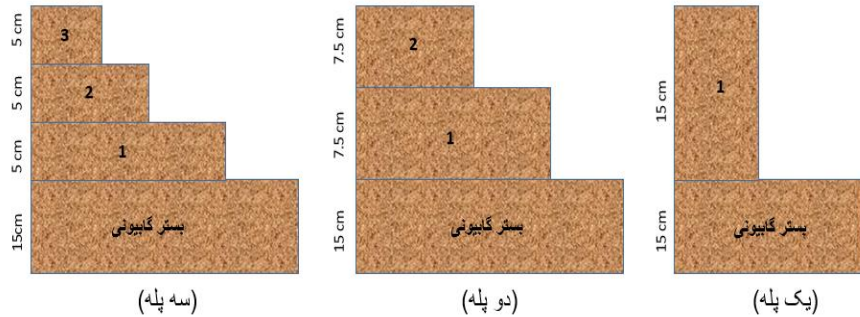
یکی از مهمترین پارامترهایی که می‌تواند در جریان هایپریک تاثیرگذار باشد، پارامتر تخلخل ذرات می‌باشد. اندازه‌گیری این پارامتر از روش حجمی استفاده شده است. بدین منظور ظرفی به حجم ۱۵ لیتر را به‌طور کامل از آب پر نموده، پس از آن در ظرفی دیگر به گنجایش ۵ لیتر از خاک مورد نظر تهیه و در نهایت با مخلوط نمودن دو ظرف مخلوطی از آب و خاک بدست آمد. پس از اشباع نمودن کامل خاک، میزان آب خارج شده از ظرف را اندازه‌گیری کرده و در معادلات زیر قرار دادیم.

$$V_f = V_t + V_w - V_s \quad (3)$$

$$V_f = V_t + V_{w2} \quad (4)$$

$$\phi = \frac{V_f}{V_t} \times 100 \quad (5)$$

در روابط فوق  $V_f$  حجم خلل و فرج،  $V_w$  حجم آب ظرف اولیه،  $V_s$  حجم مخلوط آب و رسوب،  $V_t$  حجم کل خاک و  $V_{w2}$  حجم آب خارج شده پس از تزریق رسوب (همه حجم‌ها بر حسب لیتر) و  $\phi$  هم مقدار تخلخل بر حسب درصد می‌باشد. مقدار تخلخل برای ذرات بستر ۴/۳۲ میلیمتر و ذرات گابیونی ۶/۸ میلیمتر به ترتیب برابر با ۰/۲۵۵ و ۰/۳۵۷ به‌دست آمد. از پارامتر تخلخل در شبیه‌سازی عددی هیدرودینامیکی و هیدرواستاتیکی در مدل‌های Flow 3D و Model muse استفاده شده است.



شکل (۴): شماتیک ابعاد سازه ثبیت کننده گایپرینی جریان در فلوم آزمایشگاهی

انتقالی بررسی کند. مدل Modpath قادر است مسیر جریان را به صورت سه بعدی با استفاده از خروجی جریان آب زیرزمینی و باتوجه به داده های خروجی مدل Modflow شبیه سازی کند. این مدل جریان آب زیرزمینی را براساس معادله دارسی و روش تفاضل محدود حل می کند.

مسیر حرکت ذره با ردیابی ذره از یک سلول به سلول مجاور تا رسیدن به یک مرز مشخص همچون چاه یا چشمی یا شرایط انتهایی دیگر مشخص می شود. داده های ورودی به مدل Modpath ، ترکیبی است از داده های خروجی Modflow که شامل هد و جریان هستند. خروجی Modpath شامل فایل های خروجی متعددی همچون فایل مختصاتی مسیر ذره است که این داده های خروجی توسط برنامه های دیگر قابل آنالیز و بررسی بوده و نتایج به روش های مختلف قابل نمایش است. علاوه بر محاسبه مسیر خطوط جریان، Modpath زمان انتقال حرکت ذرات را نیز محاسبه می کند. با معرفی دقیق موقعیت های شروع حرکت ذره در مدل Modpath ، این امکان وجود دارد که در محدوده وسیعی از ناحیه مورد آنالیز، مسیر محل تریق و شبکه جریان را ترسیم کند. شکل ۵ نمایی از مشبندی و هندسه سرریز گایپرینی دو پله در مدل میوز را نشان می دهد.

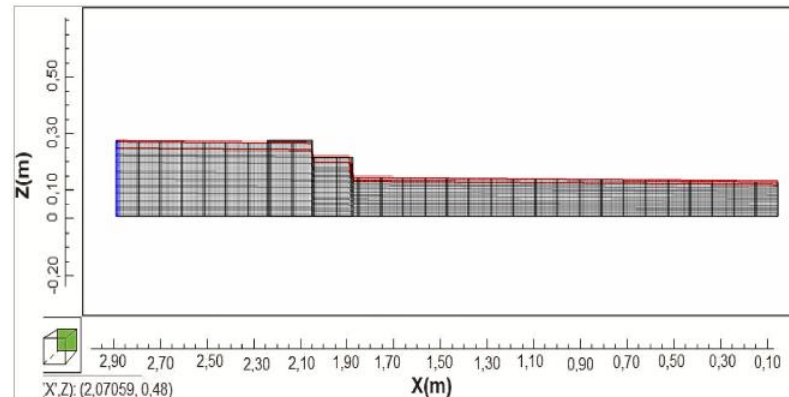
### شبیه سازی الگوی جریان هایپریک با مدل آب زیرزمینی

در این تحقیق به منظور شبیه سازی جریان آب زیرزمینی و ردیابی ذرات از نرم افزار Model Muse استفاده شد.

Modflow (۲۰۰۵) نوعی مدل سه بعدی آبهای زیرزمینی است که جریان پایدار و ناپایدار درون لایه آبخوان را به صورت محدود، محصور نشده و یا ترکیبی از محدود و آزاد را شبیه سازی می کند. با معرفی داده های مربوط به توپوگرافی بستر رسوب، شبکه پایه ای مطابق با هندسه مسئله ایجاد شده و سپس، پروفیل سطحی جریان برداشت شده به عنوان شرط مرزی به مدل معرفی شد.

برای ایجاد هندسه مدل، اندازه مش در راستای طولی و عرضی کanal یک سانتیمتر و تعداد لایه ها در راستای Z مناسب با ابعاد مش در نظر گرفته شده در حالت هیدرواستاتیک معادل ۲۰ لایه انتخاب شد. در نهایت، با اعمال شرایط مرزی فشار برای ورودی و خروجی، مدل مادفلو اجرا شد و سپس، مدل Modpath برای ردیابی ذرات و تعیین مشخصات جریان هایپریک استفاده شد.

الگوریتم ردیابی ذرات که توسط مدل Modpath قابل اجراست، می تواند ناحیه جریان را در حالت ماندگار یا



شکل (۵): نمایی از هندسه و مشبندی سرریز دو پله در

نرمال شده ( $q^*$ ), زمان ماندگاری بی بعد شده ( $t^*$ ), درصد دبی تبادلی ( $Q_p$ ), چگونگی محاسبه آنها در روابط زیر ارائه شده است.

$$q^* = \frac{Q_{ex}}{K \times A_s} \quad (6)$$

$$t^* = \frac{Rt \times K}{Lm} \quad (7)$$

$$Q_p = \frac{Q_{ex}}{Q} \times 100 \quad (8)$$

که در این روابط  $K$  هدایت هیدرولیکی محیط متخلخل،  $A_s$  مساحت سطح تماس جریان سطحی و محیط متخلخل،  $Rt$  زمان ماندگاری،  $Q_{ex}$  دبی تبادلی کل،  $Lm$  طول موثر جریان هایپریک در محدوده مانع گابیونی، و  $Q$  دبی جریان است. دبی تبادلی و زمان ماندگاری بی بعد شده در مطالعات زیادی به عنوان شاخصهای مناسب ارائه شده است (تسوتسومی و همکاران، ۲۰۱۷).

## نتایج و بحث

### پروفیل سطح جریان

سه سری آزمایش در مجموع ۲۷ سری آزمایش بر روی فلوم مورد نظر لنجام شد. مانع گلبیونی ۱۵ سانتی‌متری، به صورت سه سرریز، یک، دو و سه پله، مطابق مشخصات جدول ۱ به صورت نفوذ کامل درون بستر نصب گردید.

## تبادل هایپریک و زمان ماند

جریان‌هایی به طور کلی، جریان‌های زیرسطحی درون محیط متخلخل به چهار دسته تقسیم می‌شوند: (الف) جریان‌هایی که به دلیل تغییرات فرم بستر از جریان سطحی وارد محیط متخلخل شده و دوباره از آن خارج می‌شوند و به جریان سطحی بر می‌گردند که به آنها جریان‌های هایپریک گفته می‌شود. (ب) جریان‌هایی که از آب سطحی وارد محیط متخلخل می‌شوند و دیگر بر نمی‌گردند که در این حالت به سفره آب زیرزمینی می‌بیوندند که به این جریان‌ها جریان از دست رفته گویند. (پ) جریان‌هایی که به عکس حالت دوم هستند و در واقع از منبع آب زیر زمینی وارد جریان سطحی می‌شوند که جریان دریافتی نامیده می‌شوند. (ت) جریان‌هایی هستند که از بالادست و به موازات جریان سطحی در محیط متخلخل جریان دارند و هیچ برخورداری با جریان سطحی ندارند که از آنها به عنوان جریان آب زیرزمینی یاد می‌شود (جمالی و همکاران، ۱۳۹۸). در ساختارهای طبیعی بسته به موقعیت مکانی ممکن است همه این جریان‌ها و یا بخشی از آنها وجود داشته باشد.

برای اینکه بتوان دبی تبادلی آزمایش‌های مختلف را با هم مقایسه کرد، شاخصهای جریان سطحی و زیرسطحی به صورت بی بعد تعریف می‌شوند. دبی تبادلی

جدول (۱): مشخصات آزمایش

ردیف	حالات	ارتفاع پله (Cm)	نوع آزمایش	دبي (L/S)	تعداد تکرار	تعداد کل آزمایش در هر سری
۱	یک پله	۱۵	سری اول	۳/۵۶	۳	۹
			سری دوم	۶/۴		
			سری سوم	۹/۵		
۲	دو پله	۷/۵	سری اول	۳/۵۶	۳	۹
			سری دوم	۶/۴		
			سری سوم	۹/۵		
۳	سه پله	۵	سری اول	۳/۵۶	۳	۹
			سری دوم	۶/۴		
			سری سوم	۹/۵		

جهت به سمت بالادست جريان و متمایل به سطح رسوبات<sup>۱</sup>، جهت به سمت پایین دست جريان و متمایل به سمت کف فلوم<sup>۲</sup> و جهت به سمت بالادست جريان و متمایل به سمت کف فلوم<sup>۳</sup> می باشد. در آزمایش سری اول که مشخصات هييدروليكي آن در جدول ۲ آورده شده، پرش هييدروليكي و آب شستگی توaman تشکيل شد و در اين سری آزمایش مانع گابيوني سرريز گابيوني به صورت كامل در کف فلوم نصب گردید. شکل های ۶ تا ۸ به عنوان نمای کلي از ۳ آزمایش ياد شده آورده شده است که در آن مسیر خطوط هايپرييك در سه حالت يك پله، دو پله و سه پله گابيوني با سه دبي مختلف (۳/۵۶، ۶/۴ و ۹/۵ لیتر بر ثانیه) که در فاصله ۳۰ سانتيمتری که از بالادست قرار گرفته شده، نشان داده شده است.

به منظور بررسی پروفیل سطح آب در سه حالت ۱، ۲ و ۳ پله با ارتفاع های ثابت به ترتیب، ۱۵، ۷/۵ و ۵ سانتيمتری، از عمق سنج ديجيتالي با دقت  $0.1 \pm 0.1$  ميليمتر استفاده شد. محدوده برداشت پروفیل در بالادست سازه سرريز گابيوني  $1/2$  متر و در پایین دست سازه گابيوني  $1/9$  متر می باشد. سازه های سرريز گابيوني در بين حد فاصل بالادست و پایین دست به طول  $0.5$  متر قرار گرفته است.

### مسیر خطوط هايپرييك به دست آمده از نتایج

#### مدل عددی

در كليه آزمایش ها چهار نوع مسیر جريان هايپرييك در پایین دست مانع شناسايی شد. که شامل: جهت به سمت پایین دست و متمایل به سمت سطح رسوبات<sup>۱</sup>،

<sup>۱</sup> Downstream-directed downwelling (DD)

<sup>۱</sup> Downstream-directed upwelling (DU)

<sup>۲</sup> Upstream-directed downwelling (UD)

<sup>۲</sup> Upstream-directed upwelling (UU)



جدول (۲): مشخصات دبی تبادلی و زمان ماندگاری بی بعد، جریان هایپریک در سه حالت مختلف جریان

ردیف	حالات	ارتفاع (cm)	نوع آزمایش	دبی (L/S)	عدد	دبی تبادلی	زمان ماند (t*) avg	تبادلی (%) Qp	تبادلی (%) q*	رینولدز (Re)	بی بعد شده	زمان ماند بی بعد شده
۱	یک پله	۱۵	سری اول	۳/۵۶	۲۵۳۲	۰/۰۰۹	۴	۱۷	۰/۰۰۹	۲۵۳۲	۳/۵۶	سرریز
	سری دوم	۶/۵	سری اول	۶/۴	۱۹۰۶۴	۰/۰۱۲	۹	۲۸	۰/۰۱۲	۱۹۰۶۴	۶/۴	گابیونی
	سری سوم	۹/۵	سری اول	۹/۵	۲۵۳۵۸	۰/۰۱۶	۱۱	۴۵	۰/۰۱۶	۲۵۳۵۸	۹/۵	سرریز
	دو پله	۷/۵	سری اول	۳/۵۶	۳۲۹۹	۰/۰۱۰	۴	۱۸	۰/۰۱۰	۳۲۹۹	۳/۵۶	گابیونی
	سری دوم	۶/۴	سری اول	۶/۴	۱۴۸۳۶	۰/۰۱۲	۱۱	۲۳	۰/۰۱۲	۱۴۸۳۶	۶/۴	سرریز
	سری سوم	۹/۵	سری اول	۹/۵	۲۰۱۷۳	۰/۰۱۷	۱۵	۴۵	۰/۰۱۷	۲۰۱۷۳	۹/۵	گابیونی
۲	یک پله	۵	سری اول	۳/۵۶	۲۸۱۵	۰/۰۱۹	۴	۲۰	۰/۰۱۹	۲۸۱۵	۳/۵۶	سرریز
	سری دوم	۶/۴	سری اول	۶/۴	۱۵۶۸۲	۰/۰۱۳	۱۲	۳۲	۰/۰۱۳	۱۵۶۸۲	۶/۴	گابیونی
	سری سوم	۹/۵	سری اول	۹/۵	۲۱۰۳۶	۰/۰۱۱	۱۸	۶۰	۰/۰۱۱	۲۱۰۳۶	۹/۵	سرریز
	دو پله	۷/۵	سری اول	۷/۵	۲۱۰۳۶	۰/۰۱۱						

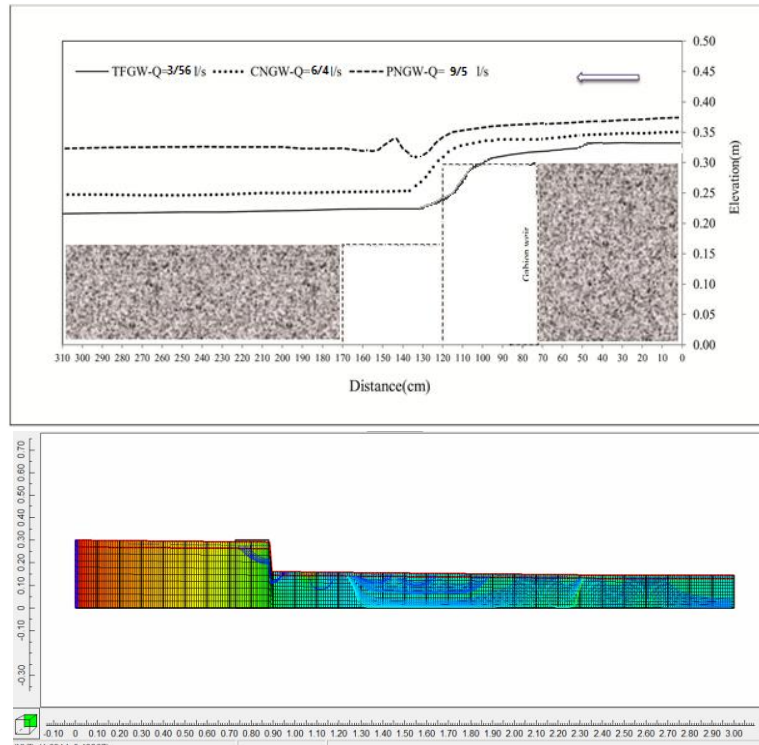
در هر یک از آزمایش‌های انجام شده که در آن پرش هیدرولیکی تشکیل شده بود، آشفتگی جریان زیاد بود، با این حال در این مقاله مشابه کار ایندرونی و همکاران (۲۰۱۱) فقط الگوهای تبادلی مورد بررسی قرار گرفت و تاثیر پخشیدگی در تبادلات هایپریک مورد بررسی قرار نگرفت.

با توجه به نتایج به دست آمده در آزمایش‌های در سرریز دو پله با سه دبی ۳/۵۶، ۶/۴ و ۹/۵ لیتر بر ثانیه که در شکل ۷ نمایش داده شده است، پرش هیدرولیکی و آب‌شستگی به صورت توامان تشکیل شد. با مقایسه مسیرهای هایپریک در این مدل آزمایشگاهی و مدل هیدرواستاتیک برای حالت سرریز یک پله ایجاد پرش و آب‌شستگی توامان بوده است و در تمامی نواحی هایپریک مطابقت دارند. فقط در محدوده زیر محل ریزش از سرریز مطابقت نداشتند زیرا محل قرارگیری پرش به کمی پایین‌تر از پای سرریز بود که می‌توان علت آن را ناشی از حجم هوای محبوس شده در زیر محل ریزش دانست که مدل میوز آن را به درستی شبیه‌سازی نمی‌کند. در بین سه دبی مورد آزمایش (۳/۵۶، ۶/۴ و ۹/۵)، در بیشترین دبی ۹/۵ لیتر بر ثانیه، نوع پرش آن به دلیل اینکه بین دو منحنی قرار گرفته است، از نوع سطحی و در آزمایش‌های دیگر که با دبی‌های کمتر انجام شد، به دلیل اینکه نقاط متناظر این دو حالت در زیر منحنی پرش آزاد

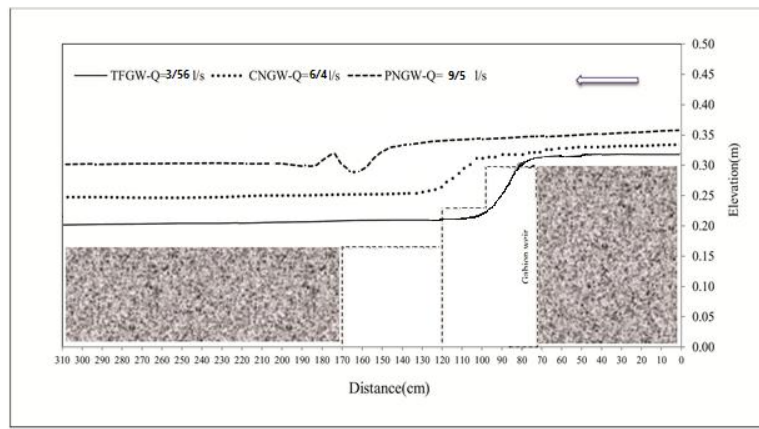
طبق بررسی‌های انجام شده از مدل هیدرواستاتیکی در شکل‌های ۶ تا ۸ مشخص شده که، الگوی جریان در ناحیه هایپریک در حالت شبیه‌سازی شده با مدل آزمایشگاهی هم‌خوانی خوبی دارد. با تزریق رنگ در قبل از سازه سرریز گابیونی مشاهده می‌شود که ذره تزریق شده در محیط متخلخل بلا فاصله بعد از سازه سرریز گابیونی با طی کردن مسیری به محیط آب سطحی وارد می‌گردد. در شکل ۶ در حالت یک پله پروفیل سطح آب در سه دبی ۳/۵۶ لیتر بر ثانیه به صورت درون گذر از ذرات گابیونی، در دبی ۶/۴ لیتر بر ثانیه به صورت روگذر و در ماکزیمم دبی ۹/۵ لیتر بر ثانیه به صورت پرش هیدرولیکی مشاهده شده است که این پرش هیدرولیکی در پای سرریز اتفاق افتاده است. این حالت به دلیل تغییر بار هیدرولیکی از محیط بالادرست به سمت محیط پایین‌دست می‌تواند اتفاق بیافتد. اما در پایین‌دست سازه سرریز گابیونی خطوط جریان به دلیل تغییرات بار هیدرولیکی مسیرهایی را طی می‌کنند و به محیط آب سطحی وارد می‌شوند. ایجاد پرش هیدرولیکی سبب آب‌شستگی رسوبات شده است و موج ب حرکت رسوبات گشته که محدوده ایجاد پرش هیدرولیکی در حالات‌های وجود آب‌شستگی حد فاصل X برابر ۰/۹۳ متر تا X برابر ۱/۲۸ متر و برای حالت بدون ایجاد آب‌شستگی حد فاصل X برابر ۰/۹ متر تا X برابر ۱/۲۵ متر اتفاق افتاد.

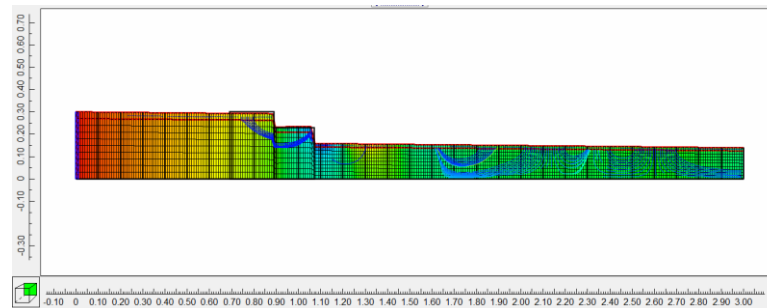
آزمایش پرش و آب شستگی توامان تشکیل شد و در این سری آزمایش سرریزهای گابیونی در هر تعداد پله به صورت کامل معرفه شده است.

قرار گرفته بود، پرش از نوع آزاد شکل گرفت. در هریک از آزمایش‌های مریبوط به سری سوم (دبی ۹/۵ لیتر بر ثانیه) آشفتگی جریان زیاد بود، در این سری

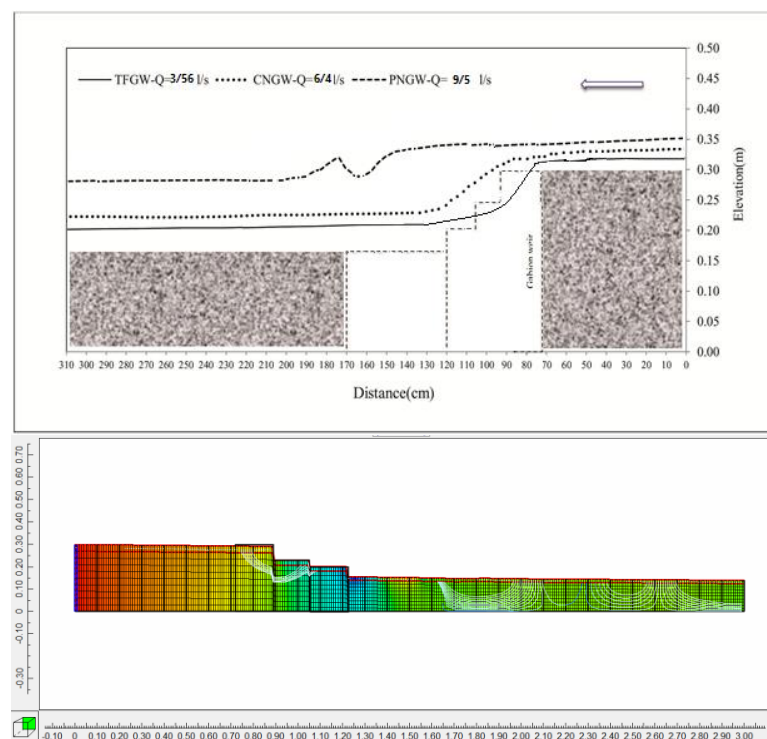


شکل (۶): پروفیل سطح آب برای سازه سرریز گابیونی یک پله برای سه حالت مختلف جریان درونگذر، روگذر (ریزشی) و پرش هیدرولیکی

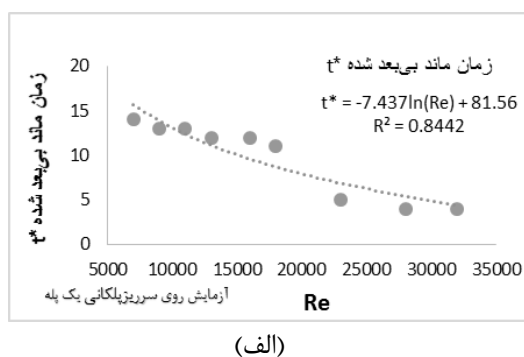




شکل (۷): پروفیل سطح آب برای سازه سرریز گابیونی دو پله برای سه حالت مختلف جریان درونگذر، روگذر (ریزشی) و پرش هیدرولیکی



شکل (۸): پروفیل سطح آب برای سازه سرریز گابیونی سه پله برای سه حالت مختلف جریان درونگذر، روگذر (ریزشی) و پرش هیدرولیکی



(الف)

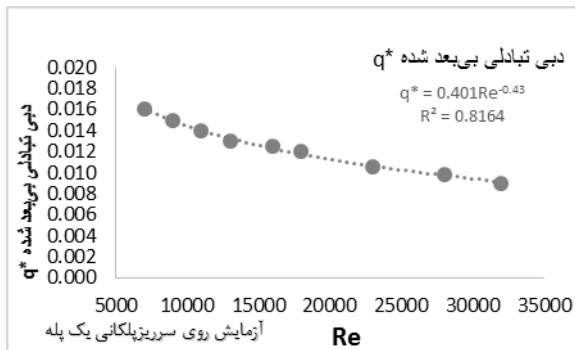
#### بررسی زمان ماندگاری جریان هایپریک ( $t^*$ )

یکی از مشخصات مهم ناحیه هایپریک زمان ملنده است. در شکل های ۹ زمان ماند برای سه حالت یک پله، دو پله و سه پله سرریز گابیونی ترسیم شده است. نتایج نشان می دهد در حالت های مختلف جریان (درون گذر، ریزشی و پرش هیدرولیکی) به طور کلی با افزایش عدد رینولدز جریان، زمان ماند کاهش می یابد.

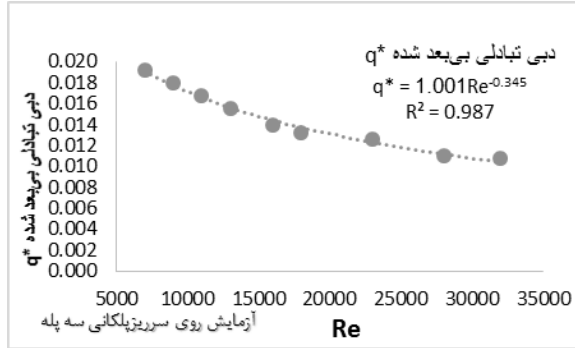
رسوبگذاری و انجام واکنش‌های شیمیایی خواهد داشت ولی برای زمانی که جریان در دبی‌های بالاتر به حالت پرش‌هیدرولیکی است زمان ماند کمتری را دارا می‌باشد.

### بررسی دبی تبادلی بی بعد شده جریان هایپریک (q\*)

با بررسی نمودارهای شکل‌های ۱۰، دبی تبادلی کل بی بعد شده ( $q^*$ ) مشاهده شد که تغییرات دبی تبادلی، وابسته گرادیان فشار است که از تغییرات سرعت، گردابهای جریان و اختلاف هد استاتیکی جریان به وجود می‌آید. دبی تبادلی کل جریان هایپریک بی بعد شده در هر سه حالت ریزشی، جریان روگذر و جریان با پرش هیدرولیکی، با افزایش عدد رینولدز روند کاهشی داشت. دامنه ای بین ۰/۰۰۹ تا ۰/۰۱۶ بوده است. که بیشترین مقدار برای سرریز گابیونی سه پله و کمترین مقدار برای سرریز گابیونی یک پله می‌باشد.

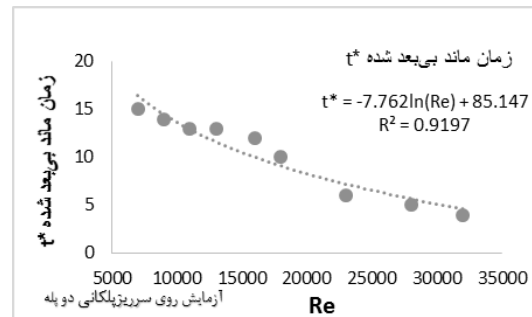


(الف)

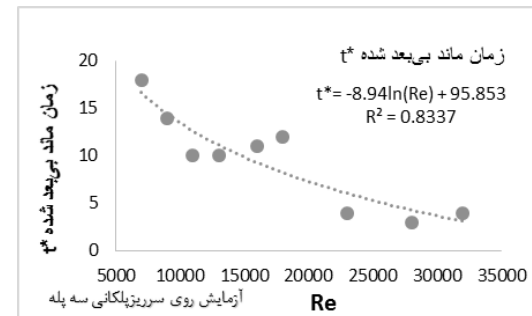


(ج)

شکل (۱۰): دبی تبادلی بی بعد شده در سه حالت در سه حالت سرریز گابیونی (الف) یک پله، (ب) دو پله و (ج) سه پله جمالی و همکاران (۲۰۱۹) نیز به بررسی این پارامتر



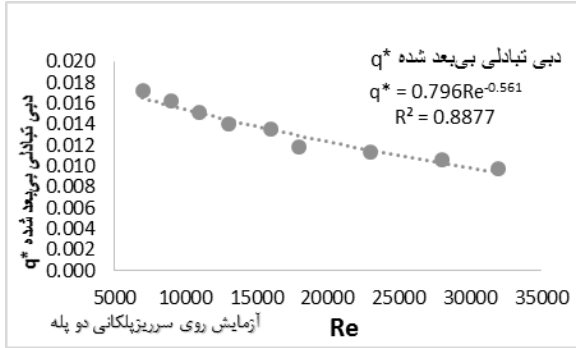
(ب)



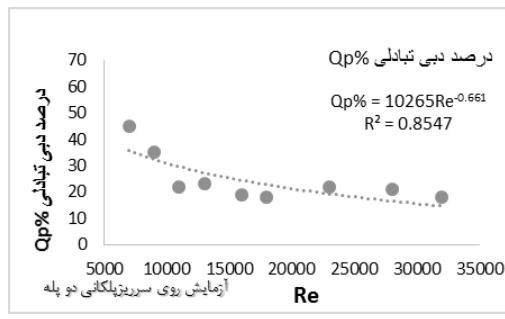
(ج)

(۹): زمان ماند بی بعد شده در سه حالت مختلف از سرریز گابیونی (الف) یک پله، (ب) دو پله و (ج) سه پله

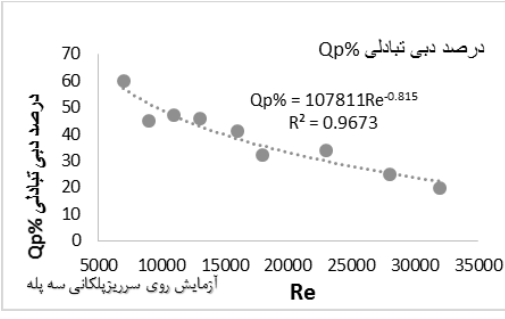
مارزادری و همکاران (۲۰۱۰) نیز که به بررسی نیمه تحلیلی جریان هایپریک روی پشت‌های رسوبی پرداخته بودند، به این نتیجه رسیدند که با افزایش دبی جریان روی پشت‌های رسوبی، زمان ماند کاهش می‌یابد. می‌توان تفسیر کرد که در زمان کم‌آبی و زمانی که جریان آشفته نیست یعنی در حالت جریان روگذر و ریزشی مقادیر مدت زمان طولانی‌تری مواد در ناحیه هایپریک باقی‌مانند در نتیجه فرصت بیشتری برای



(ب)



(ب)



(ج)

شکل(11): درصد دبی تبادلی در سه حالت مختلف از سرریز گابیونی (الف) یک پله، (ب) دو پله و (ج) سه پله

### نتیجه گیری

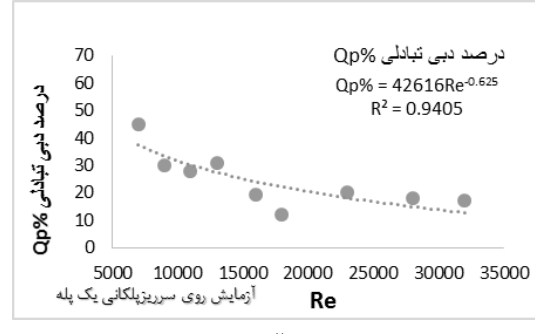
- طبق بررسی های به عمل آمده از نتایج مدل سرریز گابیونی با تغییر تعداد پله ها میزان رسوبگذاری و ترسیب در نتیجه ای افزایش زمان ماند جریان افزایش می یابد.
- با بررسی دبی تبادلی کل بی بعد شده ( $Q^*$ ) در سه نوع سرریز گابیونی با افزایش دبی این پارامتر روند کاهش نشان داد. زیرا با افزایش میزان دبی میزان عدد رینولذز جریان نیز افزایش یافته و سبب اختلاط دبی گشته است. همچنین رابطه توانی به دست آمده از این پارامتر نسبت به عدد رینولذز دارای همبستگی ۸۱ در سرریز گابیونی یک پله، ۸۸ در دو پله و ۹۸ در سه پله درصد بوده است.
- نتایج نشان داد بین داده های آزمایشگاهی و نتایج به دست آمده از مدل عددی همخوانی بسیار خوبی برقرار است.
- با بررسی روند تغییرات زمان ماند نسبت به عدد رینولذز جریان یک رابطه توانی بین آن ها برای هر یک از سرریزهای گابیونی با پله های مختلف

پرداختند. نتیجه پژوهش این محقق نشان دهنده این موضوع بود که با افزایش دبی جریان، شاخص بی بعد دبی تبادلی بین جریان سطحی و زیر سطحی روند کاهشی را از خود نشان داد که با نتایج این تحقیق مطابقت دارد.

### بررسی درصد دبی تبادلی کل جریان هایپریک (Qp%)

شکل های ۱۱ به بررسی درصد دبی تبادلی نسبت به تغییرات عدد رینولذز می پردازد. درصد دبی تبادلی کل جریان هایپریک از نسبت دبی کل جریان هایپریک ( $Q_{ex}$ ) به دبی جریان ورودی از فلوم آزمایشگاهی ( $Q$ ) بدست می آید. با بررسی این پارامتر در جدول ۲ مشاهده شد که در تمامی حالت های مورد آزمایش با افزایش عدد رینولذز جریان مقدار درصد دبی تبادلی کل جریان هایپریک روند کاهشی داشته است که با نتایج ترااث و همکاران (۲۰۱۵) نیز همخوانی دارد.

مطابق نتایج جدول ۲ بیشترین درصد اختلاط جریان سطحی با محیط زیر سطحی با توجه به دبی جریان عبوری در آن با  $\frac{2}{3}$  درصد در سرریز گابیونی سه پله رخ داده است و کمترین درصد اختلاط نیز به حالت سرریز گابیونی یک پله با  $\frac{1}{4}$  درصد دبی تبادلی بود. همچنین، همان طور که مشاهده می شود، درصد دبی تبادلی جریان با عدد رینولذز نیز رابطه توانی دارند. برای درصد دبی تبادلی جریان هایپریک ( $Q_p$ ) در مقابل عدد رینولذز ( $Re$ ) همبستگی در سرریز پلکای یک پله ۹۴، در دو پله ۸۵ و در سه پله ۹۶ درصد بین آن ها برقرار است.



(الف)

آمده درصد دبی تبادلی در مقابل عدد رینولدز  
دارای ضریب همبستگی ۹۴ درصد برای سرریز  
گابیونی یک پله ، ۸۵ درصد برای دو پله و ۹۶  
درصد برای سه پله بود.

به دست آمد که از رابطه به دست آمده می توان  
تخمین مناسبی از زمان ماند ارائه داد.  
با بررسی پارامتر درصد دبی های تبادلی مشاهده  
شد که در تمامی حالتها با افزایش عدد رینولدز  
جریان مقدار درصد دبی تبادلی جریان هایبرید  
رونده کاوشی داشت که رابطه قوانی به دست

## منابع

- Boulton AJ, Findlay S, Marmonier P, Stanley EH, Valett HM. 1998. The functional significance of the hyporheic zone in streams and rivers. *Annual Review of Ecology and Systematics* 29: 59–81.
- Cardenas MB, Wilson JL. 2007. Exchange across a sediment–water interface with ambient groundwater discharge. *Journal of Hydrology* 346: 69–80. Available from: <http://dx.doi.org/10.1016/j.jhydrol.2007.08.019>.
- Chanson, H. (2009), Current knowledge in hydraulic jumps and related phenomena. A survey of experimental results, *Eur. J. Mech. B., Fluids*, 28(2), 191– 210.
- Edwards RT. 1998. The hyporheic zone. In *River Ecology and Management: Lessons from the Pacific Coastal Ecoregion*, Naiman RJ, Bilby RE (eds). Springer-Verlag: New York; 399–429.
- Elliott A. Brooks NH. 1997b. Transfer of nonsorbing solutes to a streambed with bed forms: theory. *Water Resources Research* 33: 123–136.
- Elliott, A.H., Brooks, N.H., 1997. Transfer of nonsorbing solutes to a streambed with bed form: Labouratory experiment. 33(1): 137-51.
- Endreny, T., Lautz, L., Siegel, D. I. 2011a. Hyporheic flow path response to hydraulic jumps at river steps: Flume and hydrodynamic models. *Water Resources Research*. 47: W02517. DOI, 10.1029/2009WR008631.
- Fanelli RM, Lautz L. 2008. Patterns of water, heat, and solute flux through streambeds around small dams. *Ground Water* 46: 671–687.
- Gooseff, M. N., J. K. Anderson, S. M. Wondzell, J. LaNier, and R. Haggerty (2006), A modeling study of hyporheic exchange pattern and the sequence, size and spacing of stream bedforms in mountain stream networks, Oregon, USA, *Hydrol. Proc.*, 20(11), 2443–2457.
- Harvey JW, Bencala KE. 1993. The effect of streambed topography on surface–subsurface water exchange in mountain catchments. *Water Resources Research* 29: 89–98.
- Hester ET, Doyle MW. 2008. In-stream geomorphic structures as drivers of hyporheic exchange. *Water Resources Research* 44: W03417.
- Kaser, D. H.; Binley, A.; Heathwaite, A. L.; Krause, S. Spatiotemporal variations of hyporheic flow in a riffle-step-pool sequence. s. l. *Hydrol. Proc.*, 2009, pp. 23(15), 2138–2149.
- Kasahara, T., and S. M. Wondzell (2003), Geomorphic controls on hyporheic exchange flow in mountain streams, *Water Resour. Res.*, 39(1), 1005, doi:10.1029/2002WR001386.
- Lautz, L. K., and D. I. Siegel (2006), Modeling surface and ground water mixing in the hyporheic zone using MODFLOW and MT3D, *Adv. Water Resour.*, 29, 1618–1633.
- Marion A, Bellinello M, Guymer I, Packman AI. 2002. Effect of bed form geometry on the penetration of nonreactive solutes into a streambed. *Water Resources Research* 38: 1209. DOI: 10.1029/2001WR000264.
- Marzadri, A., Tonia, D., Bellin, A., Vignoli, G and Tubino, M. Semianalytical analysis of hyporheic flow induced by alternate bars. *Water Resour. Res.*, 2010. Vols. 46, W07531. Doi: 10.1029/2009WR008285.
- Movahedi, N., Dehghani, A.A., Trat, N., Meftah Halqi, M. Laboratory and numerical study of hyperic exchange in the presence of pool and riffle bed form. 2019. *J. Echo Hydrology*, Vol. 6(1), pp. 191-204.



Movahedi, N.; Dehghani, A.A.; Schmidt, C.; Trat, N.; Pasternack, G.B.; Stewardsone, M.J.; Meeftah Halghi, M. Hyporheic exchanges due to channel bed and width undulations. 2021, Water res, Vol. 149(2), p. 103857.doi.org/10.1016/j.advwatres.2021.103857.

O'Connor, B. L. and Harvey, J. W. Scaling hyporheic exchange and its influence on biogeochemical reactions in aquatic ecosystems. 2008, Water Resour. Res, Vols. W12423,,p.44.doi:10.1029/2008WR00716.

Packman, A., Salehin, M. and Zaramella, M. Hyporheic exchange with gravel beds: Basic hydrodynamic interactions and bedform-induced advective flows. s 1 : J. Hydraul. Eng., 2004. pp. 130(7), 647– 656.

Stanford JA, Lorang MS, Hauer FR. 2005. The shifting habitat mosaic of river ecosystems. Travaux Association internationale de Limnologie theorique et appliquee 29: 123–136.

Stanford JA. 2006. Landscapes and riverscapes. In Methods in Stream Ecology, 2nd edn, Hauer R, Lamberti GA (eds). Academic Press: Burlington, MA, USA; 3–21.

Tonina D, Buffington JM. 2007. Hyporheic exchange in gravel bed rivers with pool-riffle morphology: laboratory experiments and threedimensional modeling. Water Resources Research 43: W01421. DOI: 10.1029/2005WR004328.

Tonina D, Buffington JM. 2009a. Hyporheic exchange in mountain rivers I: mechanics and environmental effects. Geography Compass 3: 1063–1086.

Tonina D, Buffington JM. 2009. A three-dimensional model for analyzing the effects of salmon redds on hyporheic exchange and egg pocket habitat. Canadian Journal of Fisheries and Aquatic Sciences 66: 2157–2173.

Tonina D. 2005. Interaction between river morphology and intra-gravel flow paths within the hyporheic zone. Unpublished Ph.D. dissertation, University of Idaho, Boise, ID: 129 pp.

Trauth, N, Schmidt, C, Vieweg, M, Oswald, S.E. 2015. Hydraulic controls of in-stream gravel bar hyporheic exchange and reaction. Fleckenstein JHWRR, Vol. 51(4), pp. 2243-63.

Tsutsumi, D., Laronne, J.B., 2017. Gravel-Bed River. Process and Disasters: John Wiley & Sons.

Vaux, W. 1968. Intragravel flow and interchange of water in a streambed. Fishery Bulletin 66: 479–489.

Whiting, P. J., Stamm, J. F., Moog, D. B., Orndorff, R. L. 1999. Sedimenttransporting flows in headwater streams. Geological Society of American Bulletin. 111(3): 450-466